

# Starkniederschlagshöhen und -spenden gemäß KOSTRA-DWD-2020

## Rasterfeld 68134

(Zeile 68, Spalte 134)

### Regenspende und Bemessungsniederschlagswerte in Abhängigkeit von Wiederkehrzeit T und Dauerstufe D

| Dauerstufe D |     | Wiederkehrzeit T |            |      |            |      |            |      |            |       |            |       |            |       |            |       |            |       |            |
|--------------|-----|------------------|------------|------|------------|------|------------|------|------------|-------|------------|-------|------------|-------|------------|-------|------------|-------|------------|
|              |     | 1 a              |            | 2 a  |            | 3 a  |            | 5 a  |            | 10 a  |            | 20 a  |            | 30 a  |            | 50 a  |            | 100 a |            |
| min          | Std | mm               | l / (s ha) | mm   | l / (s ha) | mm   | l / (s ha) | mm   | l / (s ha) | mm    | l / (s ha) | mm    | l / (s ha) | mm    | l / (s ha) | mm    | l / (s ha) | mm    | l / (s ha) |
| 5            |     | 6,1              | 203,3      | 7,5  | 250,0      | 8,4  | 280,0      | 9,5  | 316,7      | 11,2  | 373,3      | 12,8  | 426,7      | 13,9  | 463,3      | 15,4  | 513,3      | 17,5  | 583,3      |
| 10           |     | 7,7              | 128,3      | 9,5  | 158,3      | 10,6 | 176,7      | 12,0 | 200,0      | 14,1  | 235,0      | 16,2  | 270,0      | 17,6  | 293,3      | 19,4  | 323,3      | 22,0  | 366,7      |
| 15           |     | 8,8              | 97,8       | 10,8 | 120,0      | 12,0 | 133,3      | 13,6 | 151,1      | 16,0  | 177,8      | 18,4  | 204,4      | 20,0  | 222,2      | 22,0  | 244,4      | 25,0  | 277,8      |
| 20           |     | 9,6              | 80,0       | 11,8 | 98,3       | 13,1 | 109,2      | 14,9 | 124,2      | 17,5  | 145,8      | 20,1  | 167,5      | 21,8  | 181,7      | 24,1  | 200,8      | 27,3  | 227,5      |
| 30           |     | 10,8             | 60,0       | 13,3 | 73,9       | 14,8 | 82,2       | 16,8 | 93,3       | 19,7  | 109,4      | 22,7  | 126,1      | 24,6  | 136,7      | 27,2  | 151,1      | 30,8  | 171,1      |
| 45           |     | 12,2             | 45,2       | 15,0 | 55,6       | 16,7 | 61,9       | 19,0 | 70,4       | 22,2  | 82,2       | 25,6  | 94,8       | 27,7  | 102,6      | 30,6  | 113,3      | 34,7  | 128,5      |
| 60           | 1   | 13,3             | 36,9       | 16,3 | 45,3       | 18,2 | 50,6       | 20,6 | 57,2       | 24,1  | 66,9       | 27,8  | 77,2       | 30,2  | 83,9       | 33,3  | 92,5       | 37,8  | 105,0      |
| 90           | 1,5 | 14,9             | 27,6       | 18,3 | 33,9       | 20,4 | 37,8       | 23,2 | 43,0       | 27,2  | 50,4       | 31,3  | 58,0       | 33,9  | 62,8       | 37,5  | 69,4       | 42,5  | 78,7       |
| 120          | 2   | 16,2             | 22,5       | 19,9 | 27,6       | 22,2 | 30,8       | 25,2 | 35,0       | 29,5  | 41,0       | 34,0  | 47,2       | 36,9  | 51,3       | 40,7  | 56,5       | 46,2  | 64,2       |
| 180          | 3   | 18,2             | 16,9       | 22,4 | 20,7       | 24,9 | 23,1       | 28,3 | 26,2       | 33,1  | 30,6       | 38,1  | 35,3       | 41,4  | 38,3       | 45,7  | 42,3       | 51,9  | 48,1       |
| 240          | 4   | 19,8             | 13,8       | 24,3 | 16,9       | 27,1 | 18,8       | 30,7 | 21,3       | 36,0  | 25,0       | 41,4  | 28,8       | 45,0  | 31,3       | 49,6  | 34,4       | 56,3  | 39,1       |
| 360          | 6   | 22,2             | 10,3       | 27,3 | 12,6       | 30,4 | 14,1       | 34,5 | 16,0       | 40,4  | 18,7       | 46,5  | 21,5       | 50,5  | 23,4       | 55,7  | 25,8       | 63,2  | 29,3       |
| 540          | 9   | 25,0             | 7,7        | 30,6 | 9,4        | 34,1 | 10,5       | 38,7 | 11,9       | 45,4  | 14,0       | 52,2  | 16,1       | 56,7  | 17,5       | 62,6  | 19,3       | 71,0  | 21,9       |
| 720          | 12  | 27,1             | 6,3        | 33,2 | 7,7        | 37,1 | 8,6        | 42,1 | 9,7        | 49,3  | 11,4       | 56,7  | 13,1       | 61,6  | 14,3       | 67,9  | 15,7       | 77,1  | 17,8       |
| 1080         | 18  | 30,4             | 4,7        | 37,3 | 5,8        | 41,6 | 6,4        | 47,2 | 7,3        | 55,3  | 8,5        | 63,6  | 9,8        | 69,1  | 10,7       | 76,2  | 11,8       | 86,5  | 13,3       |
| 1440         | 24  | 33,0             | 3,8        | 40,5 | 4,7        | 45,1 | 5,2        | 51,2 | 5,9        | 60,0  | 6,9        | 69,1  | 8,0        | 75,0  | 8,7        | 82,8  | 9,6        | 93,9  | 10,9       |
| 2880         | 48  | 40,2             | 2,3        | 49,4 | 2,9        | 55,0 | 3,2        | 62,4 | 3,6        | 73,1  | 4,2        | 84,1  | 4,9        | 91,4  | 5,3        | 100,8 | 5,8        | 114,4 | 6,6        |
| 4320         | 72  | 45,1             | 1,7        | 55,4 | 2,1        | 61,7 | 2,4        | 70,1 | 2,7        | 82,1  | 3,2        | 94,4  | 3,6        | 102,5 | 4,0        | 113,2 | 4,4        | 128,4 | 5,0        |
| 5760         | 96  | 49,0             | 1,4        | 60,1 | 1,7        | 67,0 | 1,9        | 76,0 | 2,2        | 89,1  | 2,6        | 102,5 | 3,0        | 111,3 | 3,2        | 122,8 | 3,6        | 139,3 | 4,0        |
| 7200         | 120 | 52,2             | 1,2        | 64,1 | 1,5        | 71,4 | 1,7        | 81,0 | 1,9        | 94,9  | 2,2        | 109,2 | 2,5        | 118,6 | 2,7        | 130,9 | 3,0        | 148,5 | 3,4        |
| 8640         | 144 | 55,0             | 1,1        | 67,5 | 1,3        | 75,2 | 1,5        | 85,3 | 1,6        | 100,0 | 1,9        | 115,0 | 2,2        | 124,9 | 2,4        | 137,8 | 2,7        | 156,4 | 3,0        |
| 10080        | 168 | 57,5             | 1,0        | 70,5 | 1,2        | 78,6 | 1,3        | 89,2 | 1,5        | 104,4 | 1,7        | 120,2 | 2,0        | 130,5 | 2,2        | 144,0 | 2,4        | 163,4 | 2,7        |

# Starkniederschlagshöhen und -spenden gemäß KOSTRA-DWD-2020

## Rasterfeld 68134

(Zeile 68, Spalte 134)

### Örtliche Unsicherheiten in Abhängigkeit von Wiederkehrzeit T und Dauerstufe D

| Dauerstufe D |     | Wiederkehrzeit T |     |     |     |      |      |      |      |       |
|--------------|-----|------------------|-----|-----|-----|------|------|------|------|-------|
|              |     | 1 a              | 2 a | 3 a | 5 a | 10 a | 20 a | 30 a | 50 a | 100 a |
| min          | Std | ± %              | ± % | ± % | ± % | ± %  | ± %  | ± %  | ± %  | ± %   |
| 5            |     | 18               | 19  | 19  | 20  | 22   | 22   | 23   | 23   | 24    |
| 10           |     | 19               | 21  | 22  | 23  | 24   | 25   | 26   | 26   | 27    |
| 15           |     | 19               | 21  | 22  | 24  | 25   | 26   | 27   | 27   | 28    |
| 20           |     | 19               | 21  | 22  | 24  | 25   | 26   | 27   | 27   | 28    |
| 30           |     | 18               | 21  | 22  | 23  | 25   | 26   | 26   | 27   | 28    |
| 45           |     | 17               | 20  | 21  | 22  | 24   | 25   | 25   | 26   | 27    |
| 60           | 1   | 16               | 18  | 20  | 21  | 23   | 24   | 24   | 25   | 26    |
| 90           | 1,5 | 15               | 17  | 18  | 19  | 21   | 22   | 23   | 23   | 24    |
| 120          | 2   | 14               | 16  | 17  | 18  | 20   | 21   | 21   | 22   | 23    |
| 180          | 3   | 12               | 14  | 15  | 16  | 18   | 19   | 20   | 20   | 21    |
| 240          | 4   | 12               | 13  | 14  | 15  | 17   | 18   | 18   | 19   | 20    |
| 360          | 6   | 12               | 13  | 14  | 14  | 16   | 16   | 17   | 18   | 18    |
| 540          | 9   | 13               | 13  | 13  | 14  | 15   | 16   | 16   | 17   | 17    |
| 720          | 12  | 14               | 14  | 14  | 14  | 15   | 15   | 16   | 16   | 17    |
| 1080         | 18  | 16               | 15  | 15  | 15  | 15   | 15   | 16   | 16   | 16    |
| 1440         | 24  | 17               | 16  | 16  | 16  | 16   | 16   | 16   | 16   | 17    |
| 2880         | 48  | 22               | 20  | 20  | 19  | 19   | 19   | 19   | 19   | 19    |
| 4320         | 72  | 25               | 23  | 23  | 22  | 21   | 21   | 21   | 21   | 21    |
| 5760         | 96  | 27               | 25  | 25  | 24  | 23   | 23   | 23   | 22   | 22    |
| 7200         | 120 | 29               | 27  | 26  | 25  | 25   | 24   | 24   | 24   | 24    |
| 8640         | 144 | 30               | 28  | 28  | 27  | 26   | 26   | 25   | 25   | 25    |
| 10080        | 168 | 32               | 30  | 29  | 28  | 27   | 27   | 26   | 26   | 26    |

### Parameter für abweichende T und D

#### Lokationsparameter $\xi$ (Xi)

13,37827097

#### Skalenparameter $\alpha$ (Alpha)

4,21746259

#### Formparameter $\kappa$ (Kappa)

-0,1

#### 1. Koutsoyiannis-Parameter $\theta$ (Theta)

0,00868214

#### 2. Koutsoyiannis-Parameter $\eta$ (Eta)

0,71541218

Parameter für dauerstufenübergreifende Extremwertschätzung nach KOUTSOYIANNIS et al. 1998.

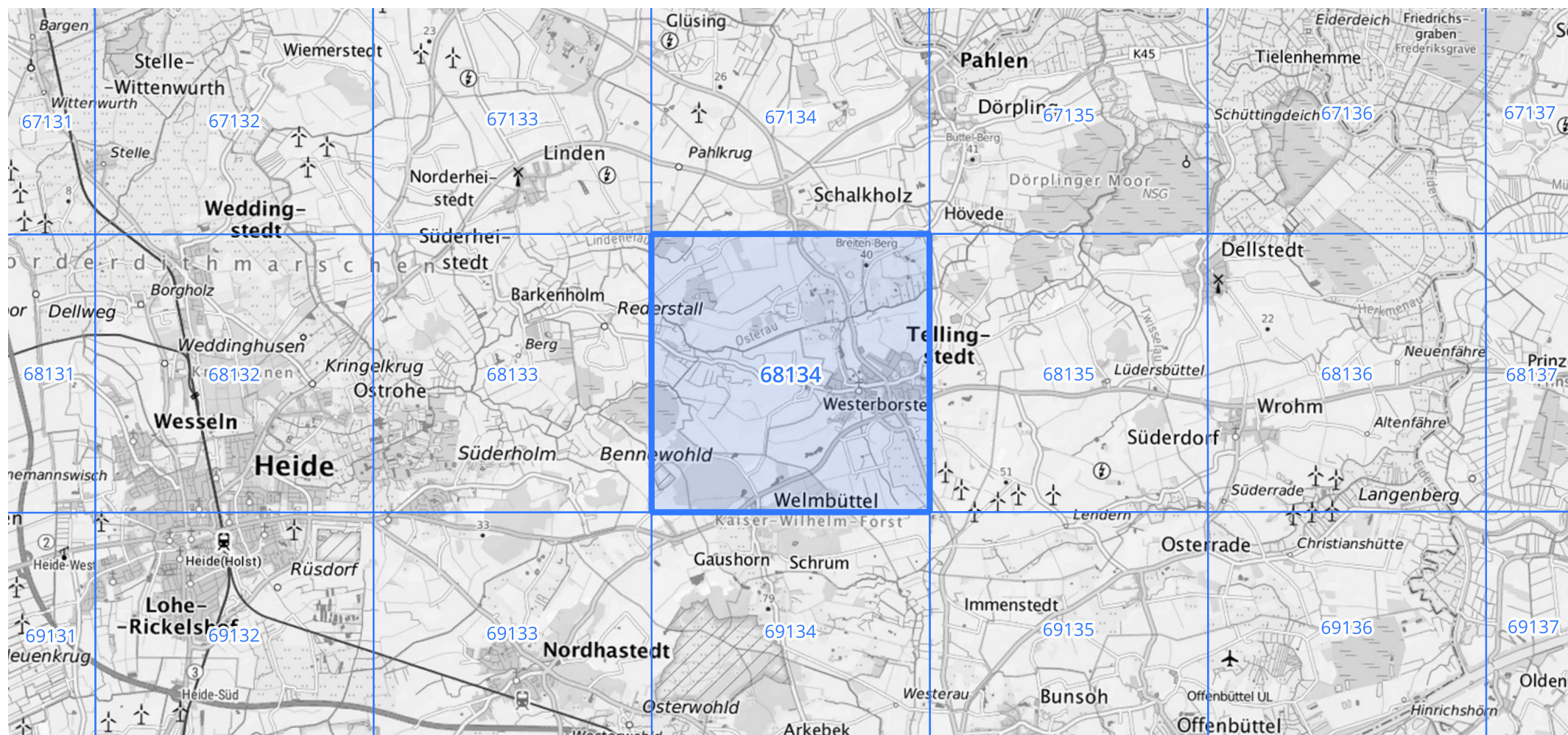
Siehe auch Anwendungshilfe zu KOSTRA-DWD-2020 des Deutschen Wetterdienstes.

# Starkniederschlagshöhen und -spenden gemäß KOSTRA-DWD-2020

## Rasterfeld 68134

(Zeile 68, Spalte 134)

### Übersichtskarte des Rasterfeldes 68134, M 1 : 100 000



Quelle Rasterdaten: KOSTRA-DWD-2020 des Deutschen Wetterdienstes, Stand 12/2022.

Seite 3 von 3

Kartendarstellung: © Bundesamt für Kartographie und Geodäsie (2023), Datenquellen: [https://sgx.geodatenzentrum.de/web\\_public/gdz/datenquellen/Datenquellen\\_TopPlusOpen.html](https://sgx.geodatenzentrum.de/web_public/gdz/datenquellen/Datenquellen_TopPlusOpen.html)

Für die Richtigkeit und Aktualität der Angaben wird keine Gewähr übernommen. Erstellt 01/2023.